

03

## Сверхзвуковое ламинарное обтекание затупленного ребра: двойственность численного решения

© Е.В. Колесник, Е.М. Смирнов

Санкт-Петербургский политехнический университет Петра Великого,  
195251 Санкт-Петербург, Россия  
e-mail: kolesnik\_ev@mail.ru

Поступило в Редакцию 10 декабря 2020 г.  
В окончательной редакции 11 декабря 2020 г.  
Принято к публикации 11 декабря 2020 г.

Представлены результаты численного решения задачи сверхзвукового обтекания затупленного ребра, установленного на пластине, вдоль которой развивается пограничный слой. Постановка задачи основана на расчетно-экспериментальной работе Tutty с соавторами (2013), в которой рассмотрен ламинарный режим обтекания при числе Маха внешнего потока равного 6.7. Рассмотрено течение в диапазоне чисел Рейнольдса от  $5.0 \cdot 10^3$  до  $2.0 \cdot 10^4$ . Установлено, что в некотором интервале значений числа Рейнольдса существуют два устойчивых решения задачи, которые отвечают метастабильным состояниям потока с различной конфигурацией вихревой структуры. Построены бифуркационные диаграммы, показывающие положение центра основного подковообразного вихря и длину отрывной области в зависимости от числа Рейнольдса, и оценено критическое значение числа Рейнольдса, при превышении которого возникает второе решение.

**Ключевые слова:** высокоскоростные течения, вязко-невязкое взаимодействие, подковообразные вихри, численное моделирование, двойственность решения.

DOI: 10.21883/JTF.2021.05.50687.341-20

### Введение

Натекание сверхзвукового потока на препятствие, установленное на обтекаемой поверхности, приводит к существенно трехмерной структуре течения, которая включает протяженную отрывную область, содержащую систему подковообразных вихрей, а также область сложного ударно-волнового взаимодействия [1–15]. Эффекты вязко-невязкого взаимодействия характеризуются сильно неоднородным распределением теплового потока на обтекаемой поверхности, значения которого могут в несколько раз превышать значения в невозмущенном пограничном слое [4–7,9,13–14]. Изучение структуры потока в подобной конфигурации и правильное предсказание характеристик теплообмена важно как с практической точки зрения, в частности, для аэрокосмической отрасли [16], так и в фундаментально-теоретическом плане.

При взаимодействии пограничного слоя с препятствием в виде затупленного ребра структура потока и картина локального теплообмена зависят от большого числа параметров, таких как свойства среды, характеристики набегающего пограничного слоя, геометрия рассматриваемой конфигурации. В последнее время интерес к данной тематике опять возрос с явно выраженным уклоном в сторону использования методов вычислительной гидродинамики [4–8,13–14], позволяющих исследовать структуру потока для широкого диапазона параметров. Исследования проводятся как для ламинарных режимов

течения [3–7,12–15], так и для турбулентных, а также переходных режимов [8–11].

В настоящей работе представлены методика и результаты численного моделирования сверхзвукового ламинарного обтекания затупленного ребра, установленного на пластине, вдоль которой развивается пограничный слой. Постановка задачи основана на данных расчетно-экспериментальной работы [4], в которой изучалась структура ламинарного потока перед обтекаемым телом при числе Маха набегающего потока  $M = 6.7$  для трех значений числа Рейнольдса, построенного по диаметру затупления:  $Re_D = 1.25 \cdot 10^4$ ,  $2.50 \cdot 10^4$ ,  $3.75 \cdot 10^4$ . Численные решения, полученные в цитируемой работе, трактовались авторами как стационарные и единственно возможные. В более позднем расчетном исследовании [5] было показано, что уже при  $Re_D = 2.50 \cdot 10^4$  решение является нестационарным.

Недавно нами было показано [15], что при наименьшем из перечисленных чисел Рейнольдса,  $Re_D = 1.25 \cdot 10^4$ , существуют два устойчивых стационарных решения задачи с различной конфигурацией вихрей в отрывной области. По сути, это можно рассматривать, как еще один случай проявления хорошо известного свойства возможной неединственности сверхзвукового обтекания тела, системы тел или их отдельных элементов (см., например, [17–21]). Физическая сторона этого свойства заключается в сильной нелинейности газодинамических процессов. В условиях возможной неединственности реализующаяся картина течения определяется не только геометрическими и физическими параметрами

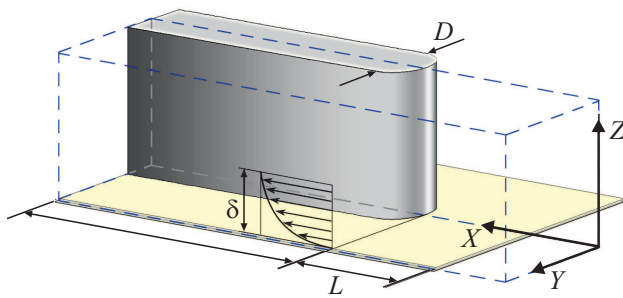


Рис. 1. Расчетная область.

ми, но и предыстории формирования потока; другими словами, проявляется аэродинамический гистерезис.

В настоящей работе, продолжающей исследования, начатые в [15], представляются результаты расчетов, проведенных для интервала изменения числа Рейнольдса от  $5.0 \cdot 10^3$  до  $2.0 \cdot 10^4$ . Исследуется двойственный характер решения при превышении числом Рейнольдса некоторого критического значения.

## 1. Постановка задачи

Расчетная область для рассматриваемой задачи сверхзвукового обтекания совершенным вязким газом затупленного ребра, установленного на пластине, показана на рис. 1. Течение предполагается симметричным относительно плоскости  $XZ$ , соответственно расчеты проводятся для половины рассматриваемой конфигурации.

Моделируемое течение определяется следующим набором безразмерных параметров: числом Маха набегающего потока  $M$ , числом Рейнольдса  $Re_D$ , числом Прандтля  $Pr$ , температурным фактором  $T_w/T_\infty$ , относительной длиной пластины  $L/D$  и показателем адиабаты  $\gamma$ . Следуя [4], течение рассчитывалось при следующих фиксированных параметрах:  $M = 6.7$ ,  $T_w/T_{in} = 4.75$ ,  $Pr = 0.7$ ,  $\gamma = 1.4$ ,  $L = 145 \text{ mm}$  — протяженность пластины до места сопряжения. Расчеты проведены при значениях числа Рейнольдса  $Re_D$ , лежащих в интервале от  $5.0 \cdot 10^3$  до  $2.0 \cdot 10^4$ ; число Рейнольдса варьировалось посредством изменения диаметра передней затупленной кромки  $D$  от 1 до 4 мм.

На входной границе расчетной области задается однородный поток, на поверхности тела и пластине — условие прилипания. Поверхности тела и пластины находятся при постоянной температуре  $T_w$ . На боковых и верхних границах задаются неотражающие граничные условия, на выходе — условие нулевого градиента рассчитываемых переменных.

## 2. Вычислительные аспекты

Для расчетов использовался конечно-объемный „неструктурированный“ программный код SINF/Flag-S, разрабатываемый в Институте прикладной математики

и механики СПбПУ. Решались полные трехмерные уравнения Навье–Стокса для термически и калорически совершенного газа. Зависимость коэффициента вязкости от температуры определялась формулой Сазерленда.

Вычисление конвективных потоков на гранях контрольных объемов проводилось на основе схемы AUSM [22] второго порядка точности. Реконструкция переменных на гранях контрольных объемов неструктурированной сетки осуществлялась по методу, изложенному в [23,24]. Для обеспечения монотонности решения использовался TVD-подход [25]. Более детальное описание численного метода приведено в [12].

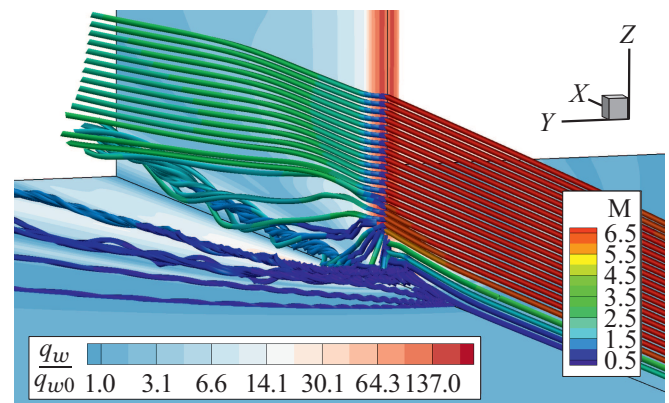
Использовалась сетка, содержащая 10 миллионов ячеек: как показано в [15], сетка данной размерности позволяет обеспечить разрешение ключевых особенностей течения. Все расчеты проводились в нестационарной постановке. Для интегрирования по времени использовался метод „двойных шагов“ с трехслойной схемой аппроксимации производной по времени („разностью назад“) второго порядка точности. Безразмерный шаг по времени задавался равным  $\Delta t U_\infty / L = 3.67 \times 10^{-4}$ , что обеспечивало значения числа Куранта порядка единицы в большей части расчетной области.

## 3. Результаты расчетов и их обсуждение

### 3.1. Двойственность решения при $Re_D = 1.25 \cdot 10^4$

В работе [15] было показано, что для рассматриваемой конфигурации при  $Re_D = 1.25 \cdot 10^4$  ( $D = 2.5 \text{ mm}$ ) существуют два устойчивых стационарных решения с различной конфигурацией вихревой структуры в отрывной области.

Структура течения, отвечающая одному из решений (полученному ранее в [4,15] и ниже обозначаемому как *Solution I*) приведена на рис. 2, где показаны линии тока и распределение относительного теплового потока

Рис. 2. Иллюстрация трехмерной структуры течения,  $Re_D = 1.25 \cdot 10^4$ .

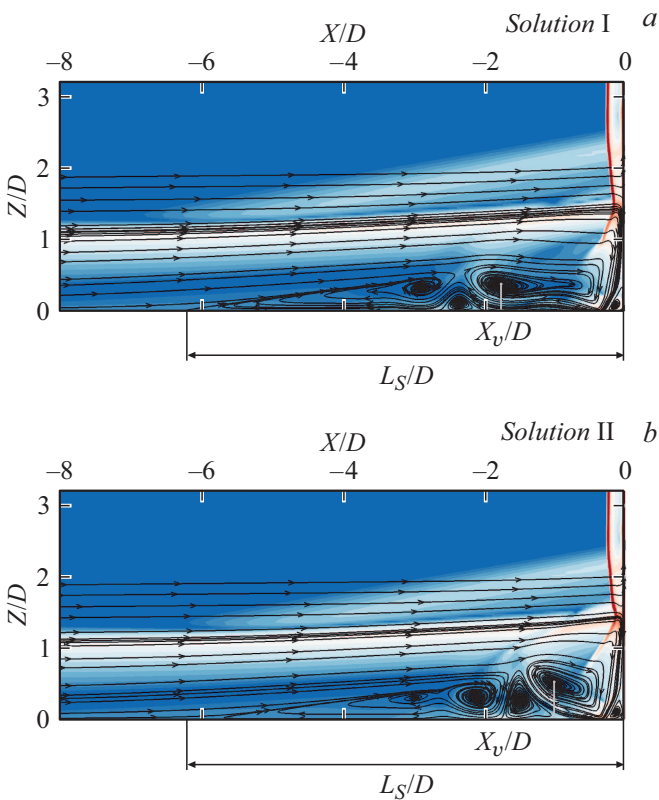


Рис. 3. Структура течения в плоскости симметрии при  $Re_D = 1.25 \cdot 10^4$ : *Solution I* (a) и *Solution II* (b).

на поверхности тела и пластины ( $q_{w0}$  — значение теплового потока в пластине без препятствия при  $x = L$ ). Хорошо видны характерные особенности рассматриваемого течения, которые заключаются в формировании отрывной области с системой подковообразных вихрей, влиянии этой области на ударно-волновую картину, а также наличии области повышенной теплоотдачи.

Двойственность решения для данного числа Рейнольдса иллюстрируется на рис. 3, где показана структура потока в плоскости симметрии для двух различных решений („*Solution I*“ и „*Solution II*“). Решения отличаются по нормированной протяженности отрывной области ( $L_S/D$ ), а также по положению оси основного подковообразного вихря ( $X_v/D$ ). В первом случае  $L_S/D = 6.50$ ,  $X_v/D \approx 1.8$ , а для второго решения  $L_S/D = 6.01$ ,  $X_v/D \approx 1.0$ . Рис. 4 показывает существенно различные распределения относительного теплового потока, рассчитанные для двух решений, а также поверхностные линии тока.

Как отмечалось выше, в работе [4] было представлено только одно численное решение (*Solution I*) и отвечающие ему экспериментальные данные. Сопоставление результатов настоящей работы с приведенными в [4] дается на рис. 5.

На рис. 5, a показаны распределения относительного теплового потока вдоль линии симметрии на пластине ( $q_{wp}$  — значения теплового потока на гладкой пластине

без препятствия в соответствующих точках). Видно, что полученное решение, содержащее один глобальный и два локальных максимума, хорошо согласуется с приведенными в работе [4] данными. Рис. 5, b показывает рассчитанную структуру потока в плоскости симметрии, здесь также можно видеть хорошую согласованность результатов.

### 3.2. Результаты параметрических расчетов

Для более полного исследования вопросов двойственности численного решения для рассматриваемой задачи проводились расчеты с „продолжением по параметру“. Фактически в ходе расчетов изменялся диаметр передней кромки ребра  $D$ ; длина пластины и параметры набегающего потока оставались неизменными. Следует отметить, что при этом изменяются значения двух определяющих параметров задачи — числа Рейнольдса ( $Re_D$ ) и относительной длины пластины ( $L/D$ ), соответственно меняется и относительная толщина набегающего пограничного слоя ( $\delta/D$ ).

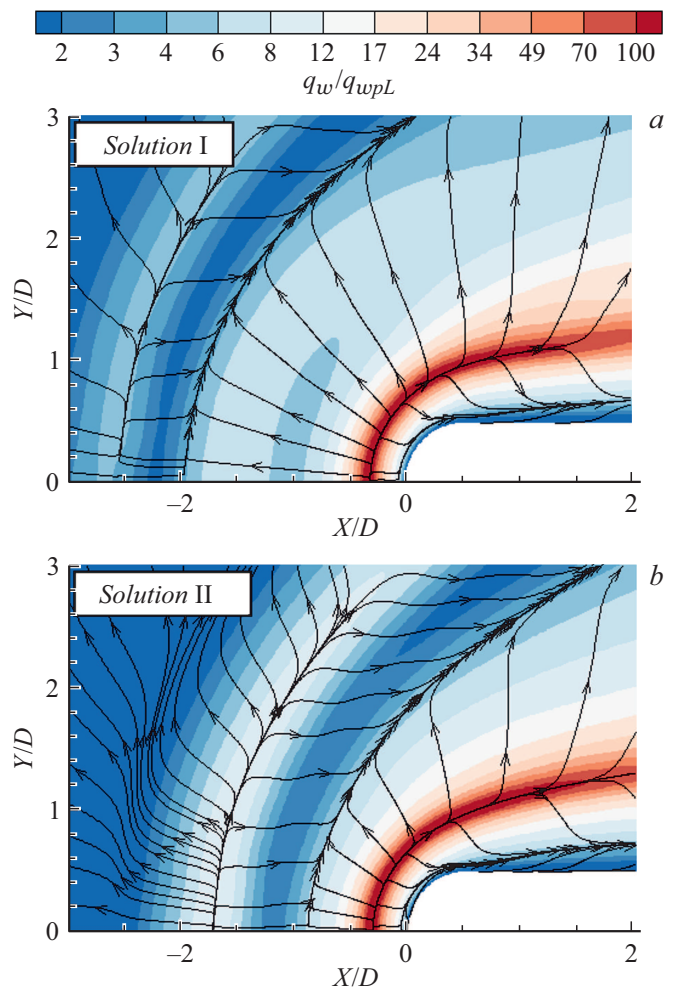


Рис. 4. Распределения числа Стэнтона и поверхностные линии тока на пластине при  $Re_D = 1.25 \cdot 10^4$ : *Solution I* (a) и *Solution II* (b).

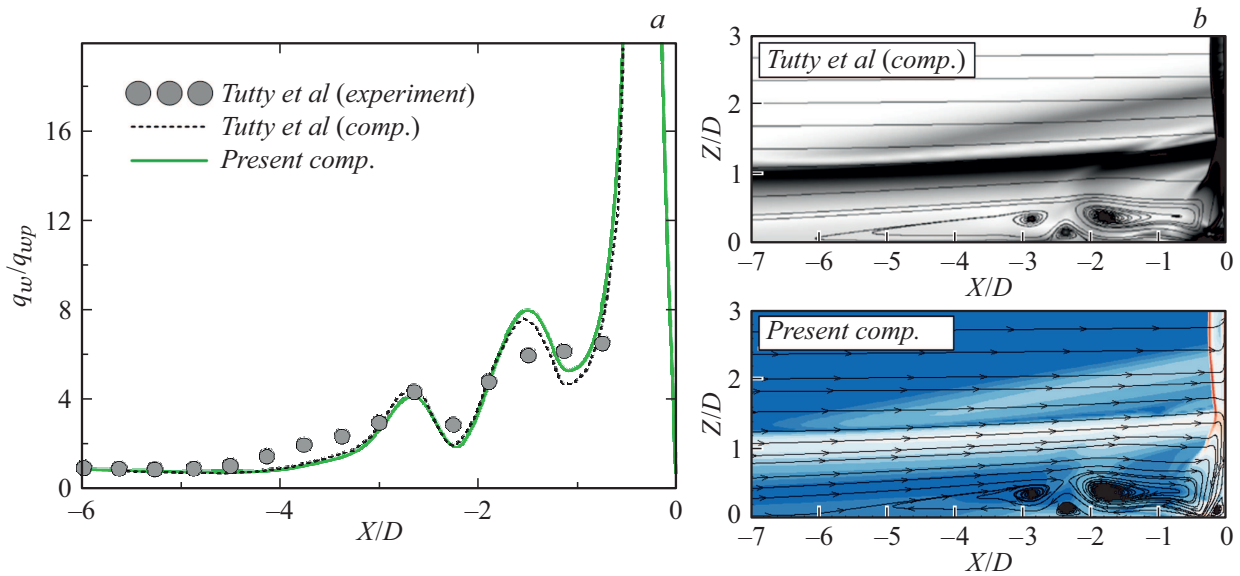


Рис. 5. Сопоставление результатов расчета с данными [4] при  $Re_D = 1.25 \cdot 10^4$ : распределение относительного теплового потока (a) и структура течения в плоскости симметрии (b).

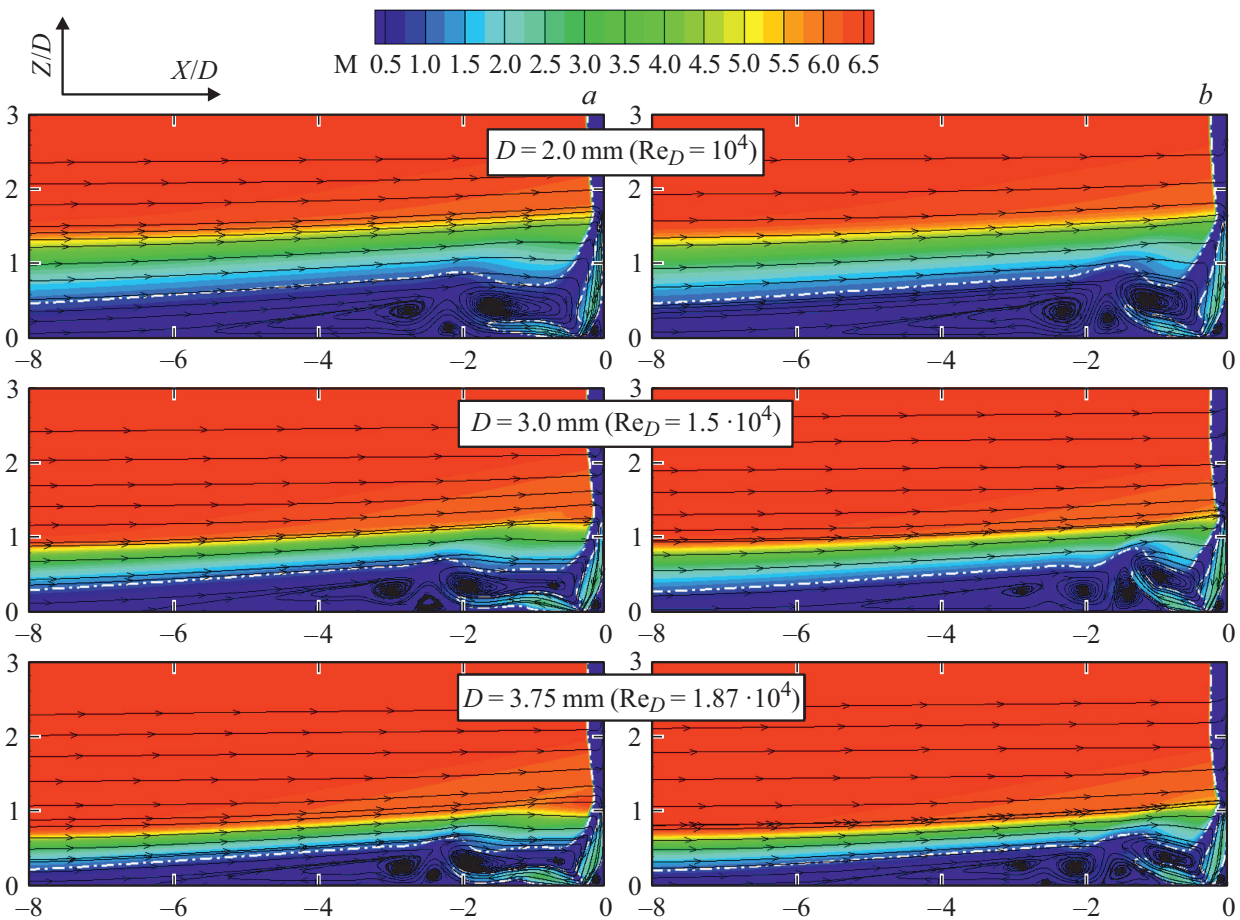


Рис. 6. Поля числа Маха и линии тока в плоскости симметрии (штрихпунктирной линией обозначена звуковая линия) для различных значений диаметра  $D$ : Solution I (a) и Solution II (b).

Рассчитанные параметры отрывной зоны для двух решений

Параметры постановки				<i>Solution I</i>		<i>Solution II</i>	
$D$ , mm	$Re_D$	$L/D$	$\delta/D$	$X_v/D$	$L_S/D$	$X_v/D$	$L_S/D$
1.00	$5.0 \cdot 10^3$	145.00	3.00	1.130	5.53		
1.25	$6.25 \cdot 10^3$	116.00	2.40	1.170	5.74		
1.50	$7.5 \cdot 10^3$	96.67	2.00	1.233	5.99		
1.75	$8.75 \cdot 10^3$	82.86	1.71	1.316	6.17		
1.80	$9.0 \cdot 10^3$	80.56	1.67	1.351	6.20		
1.85	$9.25 \cdot 10^3$	78.38	1.62	1.389	6.24	1.239	6.17
1.90	$9.5 \cdot 10^3$	76.32	1.58	1.451	6.28	1.154	6.14
2.00	$1.0 \cdot 10^4$	72.50	1.50	1.540	6.34	1.096	6.12
2.25	$1.125 \cdot 10^4$	64.44	1.33	1.682	6.44	1.038	6.07
2.50	$1.25 \cdot 10^4$	58.00	1.20	1.762	6.50	0.993	6.01
2.65	$1.325 \cdot 10^4$	54.72	1.13	1.832	6.55	0.982	5.99
2.80	$1.40 \cdot 10^4$	51.79	1.07	1.870	6.58	0.963	5.97
3.00	$1.5 \cdot 10^4$	48.33	1.00	1.887	6.61	0.943	5.94
3.13	$1.56 \cdot 10^4$	46.40	0.96	1.891	6.60	0.929	5.93
3.25	$1.625 \cdot 10^4$	44.62	0.92	1.886	6.59	0.911	5.91
3.40	$1.70 \cdot 10^4$	42.65	0.88	1.887	6.58	0.894	5.93
3.75	$1.87 \cdot 10^4$	38.67	0.80	1.876	6.55	0.873	5.97
4.00	$2.0 \cdot 10^4$	36.25	0.75	1.854	6.51	0.870	6.00

Для проведения расчетов при каждом заданном (текущем) значении диаметра в качестве начальных полей задавались поля величин, полученные для первого и второго решения для предыдущего значения диаметра. Расчеты проводились, начиная со значения  $D = 2.5$  mm ( $Re_D = 1.25 \cdot 10^4$ ) в сторону увеличения и уменьшения диаметра.

В случае  $D = 1.8$  mm ( $Re_D = 9.0 \cdot 10^3$ ) при старте с любых полей численное решение оказывается единственным и стационарным (*Solution I*). Второе стационарное решение возникает при превышении некоторого критического значения числа Рейнольдса,  $Re_{D, cr}$ . При дальнейшем увеличении числа Рейнольдса рассчитываемое течение становится нестационарным. Значения числа Рейнольдса, соответствующее переходу к нестационарному режиму течения, различны для двух решений.

На рис. 6 приведены поля числа Маха в плоскости симметрии для нескольких вариантов расчета (в случае нестационарных режимов течения приводятся осредненные во времени характеристики). Видно, что при увеличении диаметра обтекаемого тела основные характеристики течения, свойственные первому и второму решению, в целом сохраняются. В первом решении отрывная область более протяженная и больше „прижа-

та“ к поверхности пластины, основной подковообразный вихрь вытянут вдоль пластины, его центр расположен дальше от обтекаемого тела, и вблизи обтекаемого тела образуется еще один дополнительный вихрь. Во втором решении отрывная область короче, центр основного подковообразного вихря расположен ближе к обтекаемому телу.

Сводная таблица содержит значения представительных характеристик течения — положения центра основного подковообразного вихря ( $X_v/D$ ) и длины отрывной области ( $L_S/D$ ), рассчитанных в зависимости от варьируемого диаметра передней кромки ребра, там же для сведения даны и значения числа Рейнольдса ( $Re_D$ ), относительной длины пластины ( $L/D$ ) и относительной толщины набегающего пограничного слоя ( $\delta/D$ ).

На рис. 7 приведены бифуркационные диаграммы, полученные по результатам параметрических расчетов, показывающие зависимость координаты центра основного подковообразного вихря и длины отрывной области от диаметра ребра (числа Рейнольдса). Полученные диаграммы позволяют заключить, что критическое значение диаметра  $D_c$  находится между 1.8 и 1.85 mm. Видно также, что первое решение с увеличением  $Re_D$  меняется эволюционно, а второе решение,

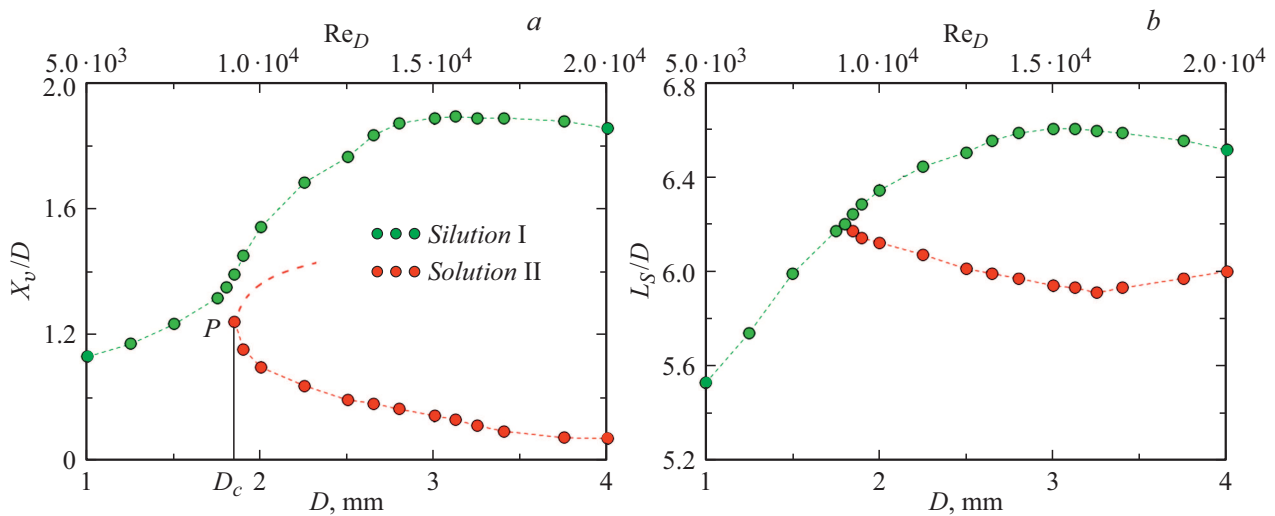


Рис. 7. Бифуркационные диаграммы: положение центра основного подковообразного вихря (a) и длина отрывной области (b).

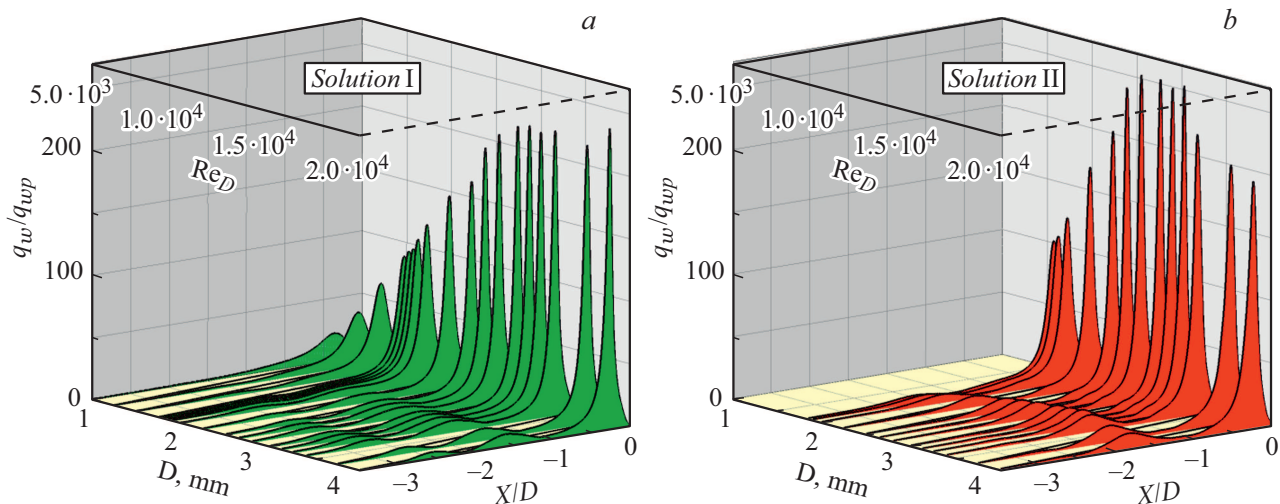


Рис. 8. Распределение теплового потока вдоль линии симметрии для различных значений диаметра  $D$ : Solution I (a) и Solution II (b).

по-видимому, является изолированным, существующим при  $Re_D > Re_{D,cr} \approx 9.25 \cdot 10^3$ , при этом точка  $P$  — точка бифуркации (точка поворота), изолированная от ветви решения Solution I.

Длина отрывной области для первого решения с ростом числа Рейнольдса вначале монотонно возрастает, а далее, начиная со значения  $Re_D \approx 1.5 \cdot 10^4$ , постепенно уменьшается. Для второго решения характер зависимости противоположный: уменьшение длины отрывной области наблюдается до значения числа Рейнольдса  $Re_D \approx 1.70 \cdot 10^4$ , начиная с которого идет увеличение длины. Изменения характера зависимости кривых связано с переходом к нестационарным режимам течения.

Следует еще раз подчеркнуть, что представленные бифуркационные диаграммы получены при неизменном положении обтекаемого тела относительно передней кромки пластины ( $L = 145$  mm). Таким образом, относи-

тельная толщина набегающего пограничного слоя  $\delta/D$ , которая является определяющим параметром задачи, меняется при изменении  $D$ . В принципе, зависимость критического числа Рейнольдса от  $\delta/D$  можно определить посредством аналогичных расчетов при варьировании длины пластины  $L$  (что является отдельной, весьма ресурсоемкой, задачей).

### 3.3. Характеристики теплообмена

Картина локального теплообмена на поверхности пластины определяется в основном конфигурацией вихрей в отрывной области, и для двух ветвей решения эта картина может значительно отличаться. Для всех рассчитанных вариантов на рис. 8 приведены распределения теплового потока вдоль линии симметрии, представленные в виде 3D-диаграммы, где в третьем направлении

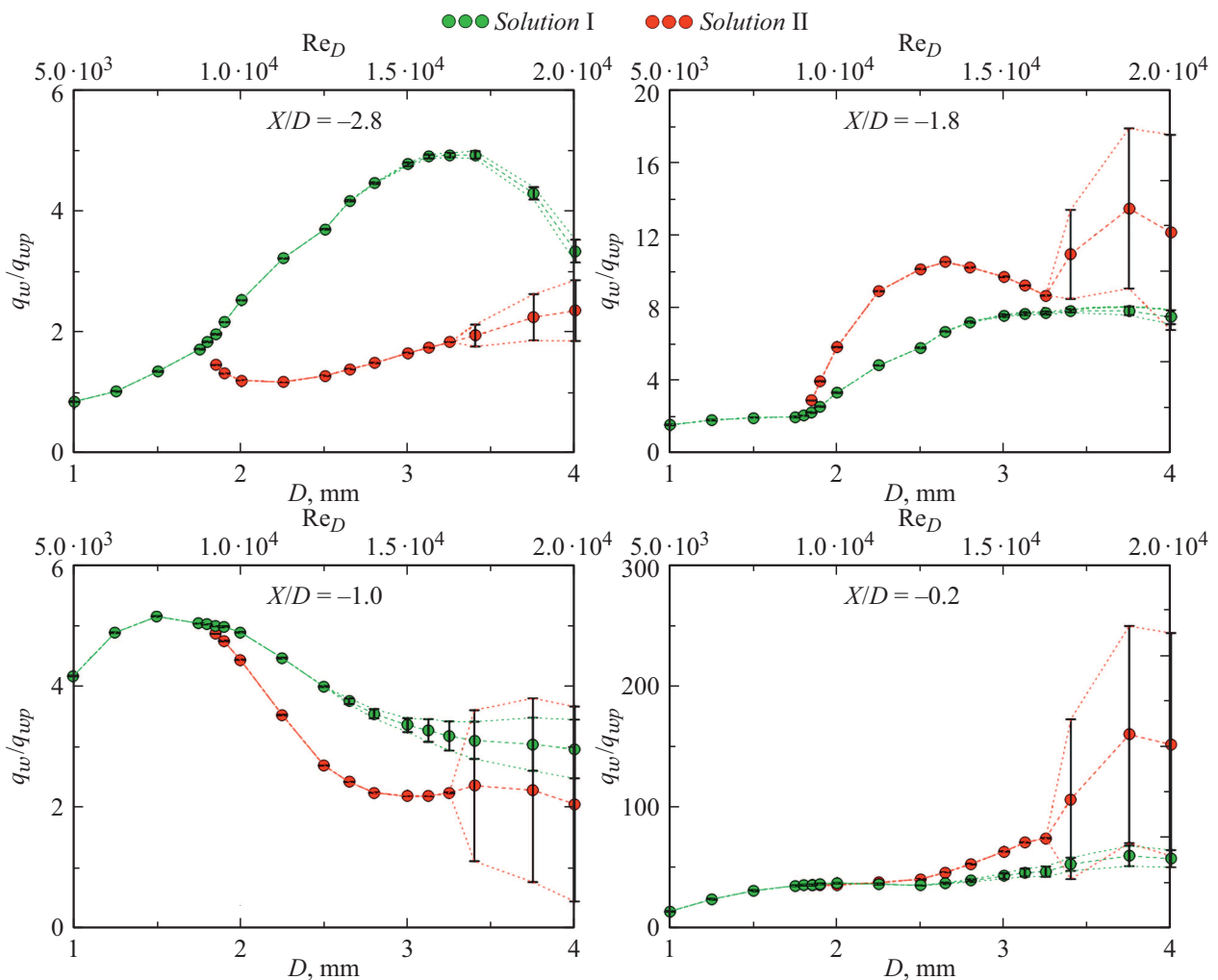


Рис. 9. Значения теплового потока в отдельных точках на пластине вдоль линии симметрии.

отложено значение варьируемого диаметра. Видно, что в случае малого диаметра решение содержит один локальный максимум теплового потока, при увеличении диаметра вихревая структура перед обтекаемым телом усложняется и соответственно меняется распределение теплового потока. Для первого решения характерно наличие двух локальных максимумов на удалении от тела (помимо выраженного главного максимума, расположенного у тела), для второго изолированного решения наблюдается один локальный максимум.

По результатам расчетов анализировалось также поведение значений теплового потока и интенсивности его пульсаций (в случае нестационарных режимов) в отдельных точках на пластине (рис. 9). Вертикальными линиями обозначены среднеквадратичные отклонения для нестационарных режимов.

Из рис. 9 видно, что переход к нестационарному режиму течения для двух решений происходит при разных значениях числа Рейнольдса: для первого — при значении  $1.325 \cdot 10^4$  ( $D = 2.65$  mm), а для второго — при большем значении, равном  $1.70 \cdot 10^4$  ( $D = 3.4$  mm).

Первому решению отвечает отрывная область большей протяженности, и видимо, поэтому именно оно первым приобретает нестационарный характер.

На приведенных графиках отчетливо видны и различия в общем характере перехода к нестационарному режиму: в случае первого решения интенсивности пульсаций увеличивается постепенно, начиная с малых значений, тогда как для второго решения возникающие пульсации сразу же имеют значительную интенсивность.

## Заключение

Проведены многовариантные параметрические расчеты для трехмерной задачи о взаимодействии сверхзвукового течения вязкого газа с затупленным ребром, установленным на пластине, вдоль которой развивается ламинарный пограничный слой. Расчеты проведены для условий экспериментов [4] при фиксированном расположении тела относительно передней кромки пластины.

Охвачен диапазон изменений числа Рейнольдса от  $5.0 \cdot 10^3$  до  $2.0 \cdot 10^4$ , включающий стационарные

и нестационарные режимы течения. Для значения  $Re_D = 1.25 \cdot 10^4$  проведены тестовые расчеты, показавшие хорошее согласие с экспериментальными и расчетными данными [4] для одного из двух возможных стационарных решений задачи.

Исследованы вопросы двойственности решения в рассматриваемом диапазоне числа Рейнольдса. Построены бифуркационные диаграммы, на основе которых оценено критическое значение числа Рейнольдса ( $Re_{D, cr} \approx 9.25 \cdot 10^3$ ), при превышении которого возникает второе (изолированное) решение. Проанализированы основные особенности двух решений, эволюционирующих с ростом числа Рейнольдса, и оценены значения числа Рейнольдса, при которых происходит переход к нестационарным режимам течения.

Исследованы изменения в локальной теплоотдаче, обусловленные ростом числа Рейнольдса. Отмечены характерные особенности распределений теплового потока для решений двух типов.

## Благодарности

Вычисления проводились с использованием ресурсов суперкомпьютерного центра Санкт-Петербургского политехнического университета Петра Великого ([www.scc.spbstu.ru](http://www.scc.spbstu.ru)).

## Конфликт интересов

Авторы заявляют, что у них нет конфликта интересов.

## Список литературы

- [1] Д.М. Войтенко, А.И. Зубков, Ю.А. Панов. Известия АН СССР. Механика жидкости и газа, **1**, 121 (1966).
- [2] В.С. Адуевский, К.И. Медведев. Известия АН СССР. Механика жидкости и газа, **1**, 25 (1967).
- [3] B. Lakshmanan, S.N. Tiwari. J. Aircraft, **31** (1), 64 (1994).
- [4] O.R. Tutty, G.T. Roberts, P.H. Schuricht. J. Fluid Mech., **737**, 19 (2013).
- [5] Y.Q. Zhuang, X.Y. Lu. Procedia Eng., **126**, 134 (2015).
- [6] M. Mortazavi, D. Knight. *Shock Wave Laminar Boundary Layer Interaction at a Hypersonic Flow Over a Blunt Fin-Plate Junction*. 55th AIAA Aerospace Sciences Meeting (American Institute of Aeronautics and Astronautics, Reston, Virginia, 2017)
- [7] M. Mortazavi, D. Knight. AIAA J., **57** (8), 3506 (2019).
- [8] S.A. Lindörfer, C.S. Combs, P.A. Kreth, R.B. Bond, J.D. Schmisser. Shock Waves, **30** (4), 395 (2020).
- [9] V. Borovoy, V. Mosharov, V. Radchenko, A. Skuratov. *The shock-waves interference in the flow around a cylinder mounted on a blunted plate*. 7Th European Conference For Aeronautics And Aerospace Sciences. 2017. P. 1.
- [10] N.T. Clemens, V. Narayanaswamy. Annu. Rev. Fluid Mech., **46** (1), 469 (2014).
- [11] C.S. Combs, E.L. Lash, P.A. Kreth, J.D. Schmisser. AIAA J., **56** (4), 1588 (2018).
- [12] Е.В. Колесник, Е.М. Смирнов, А.А. Смирновский. Научно-технические ведомости СПбГПУ. Физико-математические науки, **12** (2), 7 (2019). DOI: 10.18721/JPM.12201
- [13] E.V. Kolesnik, A.A. Smirnovsky. J. Phys. Conf. Ser., **1400** (077030), 077030 (2019).
- [14] Е.В. Колесник, Е.М. Смирнов. ЖТФ, **90** (2), 185 (2020).
- [15] Е.В. Колесник, А.А. Смирновский, Е.М. Смирнов. Письма в ЖТФ, **46** (12), 10 (2020).
- [16] R.H. Korkegi. AIAA J., **9** (5), 771 (1971).
- [17] А.И. Гужавин, Я.П. Коробов. Изв. АН СССР. МЖГ, **2**, 116 (1984).
- [18] И.В. Колин, В.Г. Марков, Т.И. Трифонова, Д.В. Шуховцов. ЖТФ, **74** (2), 124 (2004).
- [19] А.Н. Кудрявцев, Д.Б. Эпштейн. Изв. РАН. МЖГ, **3**, 122 (2012).
- [20] С.В. Гувернюк, А.Ф. Зубков, М.М. Симоненко, А.И. Швец. Изв. РАН. МЖГ, **4**, 136 (2014).
- [21] Y.-Ch. Hu, W.-F. Zhou, G. Wang, Y.-G. Yang, Zh.-G. Tang. Phys. Fluids, **32** (11), 113601 (2020).
- [22] M.S. Liou, C.J. Steffen. J. Comp. Phys., **107** (1), 23 (1993).
- [23] C. Le Touze, A. Murrone, H. Guillard. J. Comp. Phys., **284**, 389 (2015).
- [24] П.А. Бахвалов, Т.К. Козубская. Математическое моделирование, **28** (3), 79 (2016).
- [25] A. Harten. J. Comp. Phys., **49** (3), 357 (1983).